

ФАЗОВЫЙ АНАЛИЗ В ОБЛАСТИ  $\rho$ -РЕЗОНАНСА  
ПО РЕАКЦИИ  $\pi^- p \rightarrow \pi^-\pi^+ n$  ПРИ  $p_{\pi^-} = 4,5 \text{ Гэв/с}$

A.A.Картамышев, К.Н.Мухин, О.О.Патракин,  
М.М.Сулковская, А.Ф.Суставов

Приводятся результаты фазового анализа  $\pi\pi$ -рассеяния в интервале  $360 < m_{\pi\pi} < 960 \text{ Мэв}$ , полученные прямой экстраполяцией угловых распределений в полюс. Определены зависимости фазовых сдвигов  $\delta^0$  и  $\delta_1$  от массы дипиона. Вычислено сечение  $\pi\pi$ -взаимодействия.

Вопрос о фазовых сдвигах  $\pi\pi$ -рассеяния вот уже несколько лет привлекает внимание как теоретиков, так и экспериментаторов. Это объясняется и важностью знания констант  $\pi\pi$ -взаимодействия, и трудностью получения результатов. Несмотря на целый ряд работ в этом направлении, картина остается далеко не ясной.

В настоящее время одним из наиболее удобных способов получения информации о  $\pi\pi$ -взаимодействии является обработка реакций типа  $\pi N \rightarrow \pi\pi N$ . Как известно, при малых переданных нуклону четырехимпульсах  $t$  такие реакции идут в основном через обмен виртуальным пионом (модель однопионного обмена, *OPE*), и это дает возможность с помощью экстраполяции в пионный полюс получить сведения о  $\pi\pi \rightarrow \pi\pi$ -взаимодействии.

Настоящая работа выполнена на материале облучения жидколоводородной пузырьковой камеры пучком отрицательных пионов с импульсом  $4,5 \text{ Гэв/с}$ . Методика обработки и ранее полученные результаты описаны в [1 - 3]. Используемая статистика составляла 12295 событий реакции  $\pi^- p \rightarrow \pi^-\pi^+ n$ , из них 6418 событий с  $|t| < 0,3 (\text{Гэв/с})^2$ . В этой статье представлены результаты первого этапа работы, который посвящен изучению фазовых сдвигов в области  $\rho^0$ -резонанса  $360 < m_{\pi\pi} < 960 \text{ Мэв}$ . Как известно, в этой области можно сделать следующие упрощающие предположения: 1) пренебречь волнами с  $l \geq 2$ , ограничившись только  $S$ - и  $P$ -волнами ( $S - P$  анализ); 2) считать взаимодействие полностью упругим.

Верхний предел  $m_{\pi\pi} \leq 960 \text{ Мэв}$  выбран по двум причинам. Во-первых, при больших  $m_{\pi\pi}$  начинает играть существенную роль  $D$ -волна. Во-вторых,  $S$ -волнам, по-видимому, имеет при  $m_{\pi\pi} \approx 980 \text{ Мэв}$  особенность, возможно, резонансного характера [8, 13], тесно связанную с  $K\bar{K}$ -порогом. Это приводит к значительным неупругостям, что сильно усложняет анализ.

В приведенных выше предположениях мы хотели получить фазы  $S$ - и  $P$ -волн наиболее наглядным способом — экстраполяцией угловых распределений в полюс. Использовалась известная формула Чу-Лоу в дифференциальном виде

$$\frac{d\sigma_{\pi\pi}}{d \cos \theta} = \lim_{t \rightarrow \mu^2} \frac{F(m_{\pi\pi}^2, t, \cos \theta)}{t}, \quad (1)$$

$$\text{где } \frac{F}{t} = \frac{\frac{2\pi p_{\pi^-}^2 (t - \mu^2)^2}{f^2 t m_{\pi\pi} \sqrt{\frac{m_{\pi\pi}^2}{4} - \mu^2}} \frac{\partial^3 \sigma_{\pi\pi N}}{\partial m_{\pi\pi} \partial t \partial \cos \theta}$$

Здесь  $p_{\pi^-}$  – импульс налетающего  $\pi$ -мезона в лабораторной системе;  $f^2$  – константа пион-нуклонной связи;  $\theta$  – угол  $\pi\pi$ -рассеяния в системе центра дипиона;  $\mu^2$  – квадрат массы  $\pi$ -мезона. В каждом интервале  $\Delta m_{\pi\pi}$  и  $\Delta t$  экспериментальные угловые распределения аппроксимировались степенным рядом вида

$$\frac{\partial \sigma_{\pi\pi}}{\partial \cos \theta} \sim \frac{\partial N}{\partial \cos \theta} = a_0 + a_1 \cos \theta + a_2 \cos^2 \theta. \quad (2)$$

Коэффициенты  $a_i (m_{\pi\pi}, t)$  использовались для получения промежуточных параметров

$$B_i (m_{\pi\pi}, t) = a_i (m_{\pi\pi}, t) \frac{(t - \mu^2)^2}{t}. \quad (3)$$

В результате экстраполяции этих параметров в полюс, проведенной для каждого интервала  $\Delta m_{\pi\pi}$ , были получены коэффициенты  $B'_i (m_{\pi\pi})$ , характеризующие  $\pi\pi$ -взаимодействие. Коэффициенты  $B'_0$  и  $B'_1$  были получены линейной экстраполяцией, а для  $B'_2$  выбор между линейной и квадратичной экстраполяцией делался по  $\chi^2$ -критерию. На рис. 1 приведены полученные результаты для

$$C_i (m_{\pi\pi}) = B'_i (m_{\pi\pi}) u, \quad (4)$$

где  $u = \frac{m_{\pi\pi}}{\sqrt{\frac{m_{\pi\pi}^2}{4} - \mu^2}}$  – коэффициент фазового объема.

Дифференциальное сечение можно записать в виде

$$\frac{d\sigma_{\pi\pi}}{d\cos \theta} \sim \left| \sum_l (2l + 1) \sin \delta_l e^{i\delta_l} P_l (\cos \theta) \right|^2.$$

Конкретно, для двух S-фаз ( $\delta_0^\circ$  и  $\delta_0^2$ ) и одной P-фазы ( $\delta_1$ ) имеем

$$\frac{d\sigma_{\pi\pi}}{d\cos \theta} \sim \left| \frac{2}{3} \sin \delta_0^\circ e^{i\delta_0^\circ} + \frac{1}{3} \sin \delta_0^2 e^{i\delta_0^2} + 3 \sin \delta_1 e^{i\delta_1} \cos \theta \right|^2. \quad (5)$$

Учитывая (2), (3) и (4), для коэффициентов  $C_i (m_{\pi\pi})$  получаем:

$$C_0 (m_{\pi\pi}) = K \left\{ \frac{4}{9} \sin^2 \delta_0^\circ + \frac{1}{9} \sin^2 \delta_0^2 + \frac{4}{9} \sin \delta_0^\circ \sin \delta_0^2 \cos (\delta_0^\circ - \delta_0^2) \right\},$$

$$C_1(m_{\pi\pi}) = K \{ 4 \sin \delta_0^\circ \sin \delta_1 \cos(\delta_0^\circ - \delta_1) + 2 \sin \delta_0^2 \sin \delta_1 \cos(\delta_0^2 - \delta_1) \} ,$$

$$C_2(m_{\pi\pi}) = K 9 \sin^2 \delta_1 .$$

Здесь  $K$  – нормировочная константа. Ее легко найти, зная, что  $P$ -волна в рассматриваемой области дает  $\rho$ -резонанс, т. е. при  $m_{\pi\pi} = m_\rho$  фаза  $\delta_1$  проходит через  $90^\circ$ . На рис. 1 видно, что  $C_2$  действительно имеет явно выраженное резонансное поведение с максимумом при  $m_{\pi\pi} \approx 780 \text{ МэВ}$ .

отн. ед.

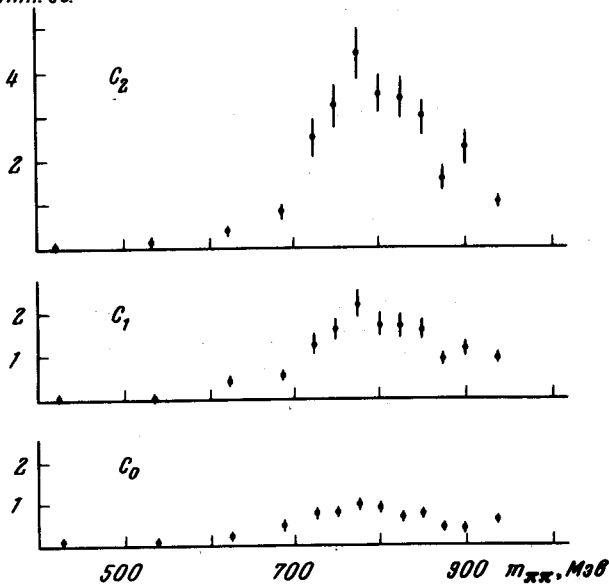


Рис. 1

$C_0$  также имеет небольшой максимум в этой области, и это может свидетельствовать или об особенности  $S$ -волн, или о вкладе  $\rho$ -резонанса в изотропный член. Вторая возможность предсказывается моделью однопаронного обмена с учетом абсорбции (*OPEA*-модель). Это особенно хорошо видно, если для анализа углового распределения применить формализм спиновой матрицы плотности. Согласно этому представлению, угловое распределение

$$W(\theta) = \frac{1}{4\pi} + \frac{3}{4\pi} \left\{ (\rho_{00} - \rho_{11}) \left( \cos^2 \theta - \frac{1}{3} \right) - 2\sqrt{2} \operatorname{Re} \rho_{10} \sin \theta \cos \theta \cos \phi - \right. \\ \left. - \rho_{1,-1} \sin^2 \theta \cos 2\phi \right\} + \frac{\sqrt{3}}{4} \left\{ -2\sqrt{2} \operatorname{Re} \rho_{10}^{int} \sin \theta \cos \phi + 2 \operatorname{Re} \rho_{00}^{int} \cos \theta \right\}. \quad (7)$$

В *OPEA*-модели все  $\rho_{ij} \neq 0$ , а в *OPE* – все  $\rho_{ij} = 0$ , кроме  $\rho_{00} \approx 1$ . Эксперимент подтверждает предсказания *OPEA*-модели [7].

Если вклад  $\rho$ -резонанса в изотропный член существует, то прямое использование коэффициентов  $C_0$  и  $C_1$  для получения фаз становится проблематичным. Однако в работе [4] было показано, что на отношение

$C_1/C_2$  мало влияют абсорбционные эффекты. Поэтому мы использовали коэффициент  $C_2$  для получения фазы  $\delta_1$ , и отношение  $C_1/C_2$  для получения фазы  $\delta^0$ . Учитывая относительную малость фазы  $\delta^2$  и ее слабое влияние на остальные фазы, значения  $\delta^2$  были взяты из работы

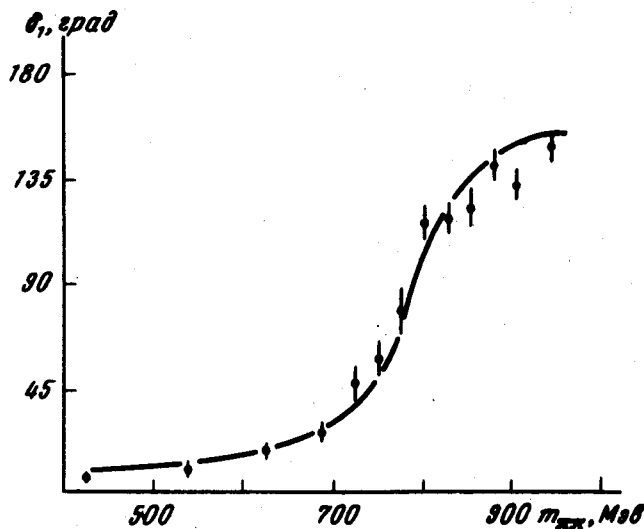


Рис. 2

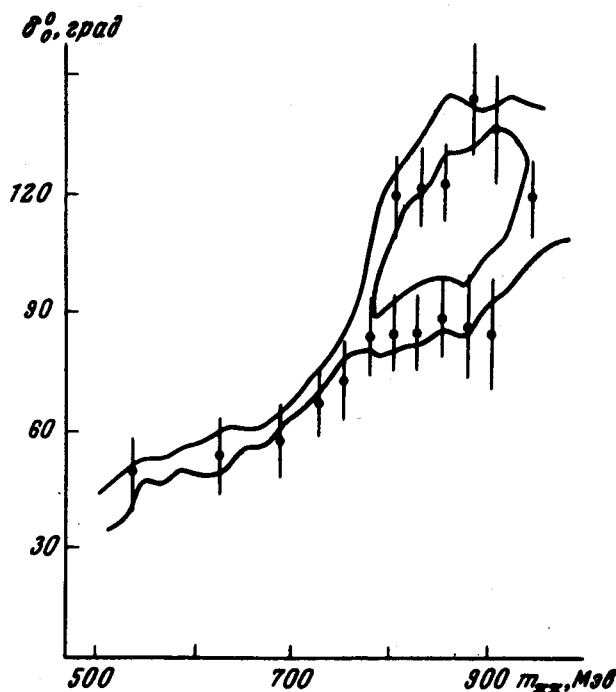


Рис. 3

[5]. Результаты, полученные для  $\delta_1$ -и  $\delta^0$ -фаз, приведены на рис. 2 и 3. Ошибки, приведенные на рисунках, чисто статистические. Фаза  $\delta_1$  имеет, как и следовало ожидать, резонансную форму. Аппроксимация ее формулой Брейта – Вигнера:  $\delta_1 = \arctg \frac{\Gamma/\rho}{m_\rho - m_{\pi\pi}}$  дает следующие

$$m_\rho = m_{\pi\pi}$$

параметры резонанса:  $m_\rho = 786 \pm 5$  Мэв,  $\Gamma_\rho = 112 \pm 9$  Мэв. Для фазы  $\delta^o$  были получены два решения. В этой работе мы не можем сделать выбор между ними. На рис. 3 приведена также область возможных значений  $\delta^o$  из работы [11]. Видно, что согласие хорошее. Наше нижнее решение в пределах ошибок согласуется также с результатами энергетически-независимого анализа работы [6] и работы [10].

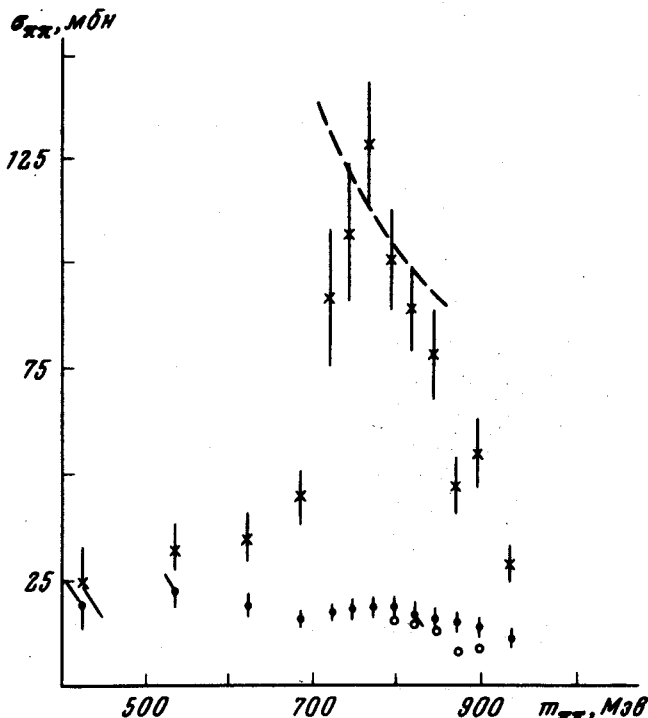


Рис. 4

В работе также было получено сечение  $\sigma_{\pi\pi}^{tot}$  в исследованной области

$$\sigma_{\pi\pi}^{tot} = 4\pi\chi^2 \{ \sigma_S + \sigma_P \}, \quad (8)$$

где  $\sigma_S = \left| \frac{2}{3} e^{i\delta^o} \sin \delta^o + \frac{1}{3} e^{i\delta^2} \sin \delta^2 \right|^2$ ,  $\sigma_P = 3 \sin^2 \delta_1$ .

Полученные значения приведены на рисунке [4]. Здесь даны  $\sigma_{\pi\pi}^{tot}$  и  $\sigma_S$ . (Точки без ошибок соответствуют верхнему решению  $\delta^o$ -фазы). Штриховой линией указан унитарный предел, соответствующий  $P$ -волне. Сечение  $\sigma_{\pi\pi}^{tot}$  в области  $\rho$ -резонанса этим методом получается больше, чем обычной экстраполяцией Чу-Лоу (см., например, [1, 9, 12]).

В заключение мы хотели бы поблагодарить за полезные обсуждения и помочь в работе И.И.Гуревича, В.В.Владимирского, Я.М.Селектора и А.Ф.Нилова.

Институт атомной энергии  
им. И.В.Курчатова

Поступила в редакцию  
6 марта 1976 г.

## Литература

- [1] А.А.Картамышев, К.Н.Мухин и др. ЯФ, 15, 294, 1972.
  - [2] A.A. Kartamyshev, K.N. Mukhin et al. Phys. Lett., B44, 310, 1974.
  - [3] А.А.Картамышев, К.Н.Мухин и др. Препринт ИАЭ-2374; 1974.
  - [4] M.Bander, G.Shaw, I.Fulco. Phys. Rev., 168, 1679, 1968.
  - [5] W.Hoogland, G.Grayer et al. Nucl. Phys., B69, 266, 1974.
  - [6] B.Hyams, C.Jones et al. Nucl. Phys., B64, 134, 1973.
  - [7] А.А.Картамышев, К.Н.Мухин и др. Письма в ЖЭТФ, 20, 748, 1974.
  - [8] S.D.Protopopescu, M.Alston- Garnjost et al. Phys. Rev., D7, 1279, 1973.
  - [9] S.Marateck, V.Hagopian et al. Phys. Rev. Lett., 21, 1613, 1968.
  - [10] P.Estabrooks, A.D.Martin. Nucl. Phys., B79, 301, 1974.
  - [11] P.Estabrooks, A.D.Martin. Nucl. Phys., B95, 322, 1975.
  - [12] V.Srinivasan, J.Helland et al. Phys. Rev., D2, 232, 1975.
  - [13] M.Alston- Garnjost, Barbaro- Galtieri et al. Phys. Lett., B31, 152, 1971; S.Flatte, M.Alston- Garnjost et al. Phys. Lett., B38, 232, 1972; R.Diamond, J.Carroll et al. Phys. Rev., D7, 1977, 1973.
-